

## CEFALIKDAĞ ve BARANADAĞ PLÜTONLARININ (KAMAN) PETROGRAFİK ve KİMYASAL-MİNERALOJİK ÖZELLİKLERİ

*Petrographical and Chemical-Mineralogical Characteristics of Cefalikdağ and Baranadağ Plutons (Kaman)*

HASAN BAYHAN H.Ü.Mühendislik Fakültesi, Jeoloji Mühendisliği Bölümü, Ankara

**ÖZ:** İç Anadolu granitoid kuşağının iç kesiminde yeralan Cefalikdağ ve Baranadağ Plütonlarına ait 12 örneğin ana ve bazı iz elementlerinin kimyasal analizleri yapılmıştır. Petrografik ve kimyasal-mineralojik özelliklerine göre, Cefalikdağ ve Baranadağ Plütonlarında iki petrografik kayaç grubu tanımlanmıştır. Bunlar, subalkali ve alkali grup olup, metaalumina özellikle ve kafemik topluluğa aittirler. Monzonitik bileşime sahip subalkali kayaçlar "minimum melt-I tipi", siyenitik bileşime sahip alkali kayaçlar "A tipi" granitoidlere benzerlik gösterir. Her iki petrografik grup, aynı kaynak malzemenin (kabuk +manto) iki farklı evrede kısmi erimeye uğraması sonucu oluşan iki farklı magmatik eriyikten itibaren türemişlerdir.

**ABSTRACT:** Major and some trace element chemical analyses have made for 12 samples belonging to Cefalikdağ and Baranadağ Plutons, and these plutons are placed in the central part of Middle Anatolia granitoid belt. In these plutons, two petrographical rock groups are determined, according to petrographical and chemical-mineralogical characteristics. These are subalkaline and alkaline groups which belong to cafemic associations and show metaluminous characteristic. Subalkaline rocks, which have monzonitic composition, like "minimum melt-I type", and alkaline rocks which have syenitic composition, like "A type" granitoid. Both of two petrographical groups derived from different magmatic melting which occurred partial melting of the same source material (crust+mantel) in two different stage.

### GİRİŞ

Çalışmanın konusunu oluşturan Cefalikdağ ve Baranadağ Plütonları, Kaman'ın güney-güneydoğusunda ve Kırşehir Masifi'nin batı kenarına yakın (Tuzgölü Fayından yaklaşık 25-30 km. doğuya doğru içerde) zonda yer almaktadır (Şekil 1).

İnceleme alanı ve çevresinde Ayan (1963), Ataman (1972), Erkan (1975, 1976 a-b, 1977), Erkan ve Ataman (1981), Görür (1981), Oktay (1981), Seymen (1981 a-b, 1983, 1984), Bayhan (1984) ve Tolluoğlu (1986) Kırşehir Masifi'nin metamorfizması, tortul örtülerin stratigrafi-sedimentolojisi ile jeokronolojik çalışmalar yapmışlardır.

Yörede yeralan litodem birimlerin en eskisini Kaman Metamorfitleri oluşturmaktadır. Cefalikdağ ve Baranadağ Plütonları tarafından sıcak dokanaklarla kesilen ve Seymen (1981 a-b) tarafından Kaman Grubu adı altında ayrıntılı incelenen bu birimin üzerine Ankara Karşılığı tektonik dokanakla gelmektedir (Seymen 1981 a).

İç Anadolu granitoid kuşağına ait Cefalikdağ ve Baranadağ Plütonları eski birimleri sıcak dokanaklarla kesmişler ve özellikle Kaman Metamorfitleriyle olan dokanaklarında skarn gelişimine neden olmuşlardır.

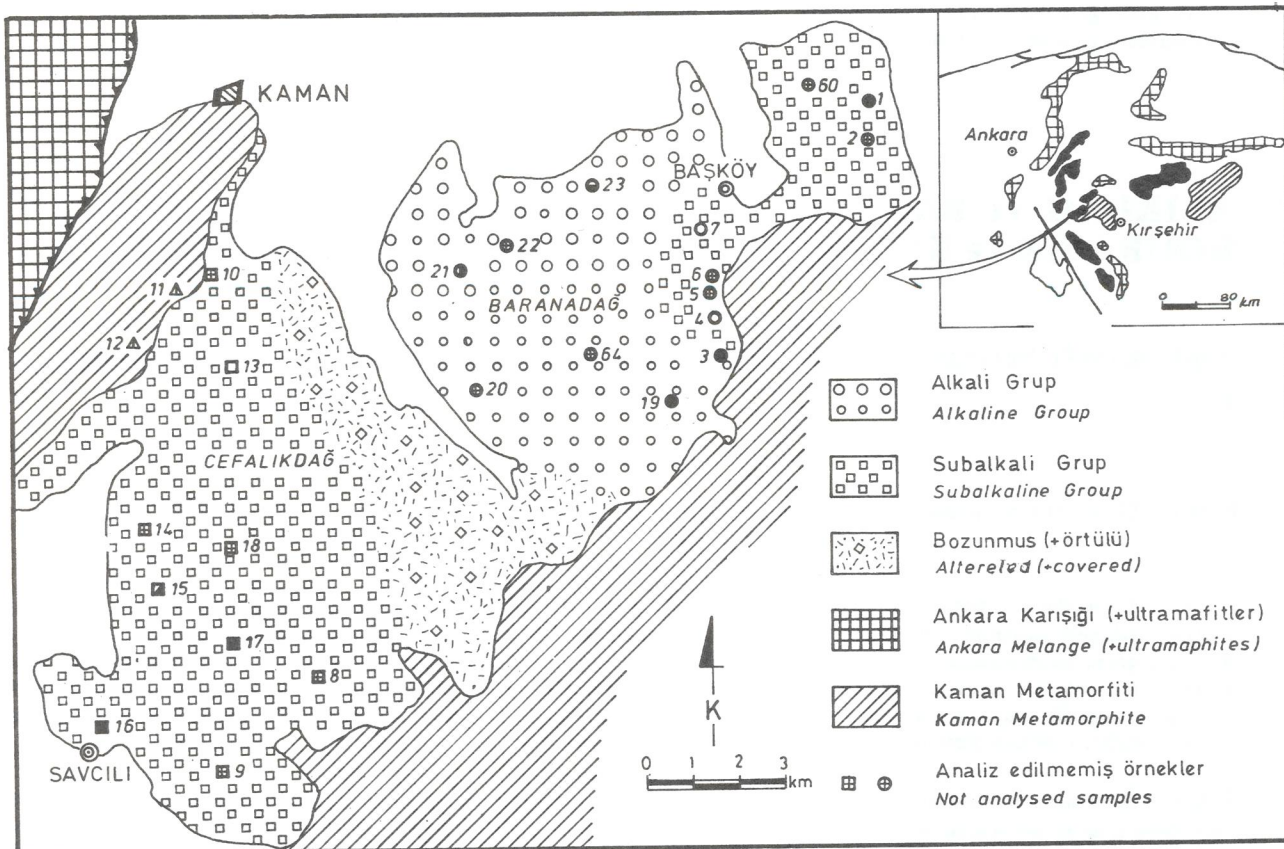
Sırasıyla yaklaşık 8 ve 6 km. çaplarındaki söz konusu plütonlardan, saha çalışmaları sırasında, petrografik ve jeokimyasal incelemeler için taze örnek alımına özen gösterilmiş olup örnek yerleri Şekil 1'de gösterilmiştir. Alınan örneklerin kimyasal analizleri Freiburg Üniversitesi (F.Almanya), Mineraloji-Petrografi Enstitüsünde XRF yöntemi ile yapılmıştır.

Bu çalışmada, Cefalikdağ ve Baranadağ Plütonlarının petrografik ve kimyasal-mineralojik özelliklerinin belirlenmesi amaç olarak seçilmiştir.

### PETROGRAFİ

Genelde, koyu renkli mineral içerikleri açısından mezokratik karakterde olan plütonik kayaçlar orta ve iri tanelidir. Özellikle feldispatlardan tane boyu yer yer 2 cm'ye kadar erişmektedir. Mikroskopta holokristalin-tanesel ve -porfirik yapılar arasında değişim gösteren bir yapıya sahiptirler. Bileşimlerinin ana minerallerini plajiyoklas, ortoklas, kuvars, mikroklin, hornblend, biyotit ve diyopsitik-ojıt oluşturmaktadır. Aksessorik bileşen olarak titanit, zirkon, apatit, allanit ve opak minerallere rastlanmıştır.

Plajiyoklaslar, açık renkli bileşenler içinde en



Şekil 1. İnceleme alanının jeoloji haritası ve örnek yerleri.

Figure 1. Geological map of investigated area and sample locations.

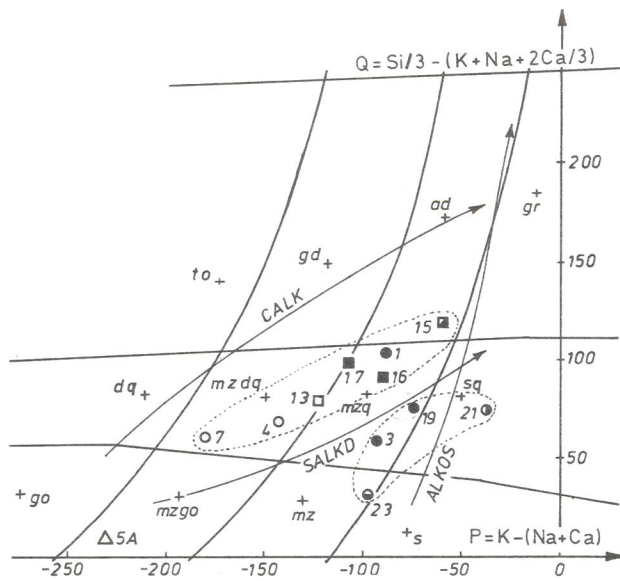
bol bulunanıdır. Polisentetik ikitizlenmenin yanı sıra genellikle zonlu yapı da gösterirler. İç kesimlerinden itibaren az miktarda serisitleşmişlerdir. Kristal kenarlarında, özellikle ortoklasların içine doğru bir körfəz şeklinde gelişmiş, mirmekitik yapılar gözlenmiştir. Ortoklaslar ise çoğunlukla karlsbad ikitizli olup az killeşmişlerdir. Kuvars ile birlikte yazı-granit yapıyı oluşturmuştur. Bir çok örnekte izlenen mikroklin daima ortoklas kristallerinin iç kesimlerinde bulunmakta ve ortoklaslara geçiş göstermektedir. İlk bakişa mikroklin pertit izlenimi vermesine rağmen, yapılan mikroskopik incelemelerde pertit şeklinde gözlenen kesimlerin albıt değil ortoklas olduğu saptanmıştır. Ayrıca mikroklinlerin etrafında gelişen ortoklasların oluşumlarını karlsbad ikitizlenmesi ile tamamladıkları da gözlenmiştir. Dolayısıyla bu durumu, önce kristalleşen mikroklinlerin sıcaklık düşmesine bağlı olarak daha sonra ortoklasa dönüştüğü ve gelişimin ortoklas şeklinde devam ettiği şeklinde düşünülmektedir. Bunu dışında ortoklaslarda iplik pertit şeklinde pertitik yapılar da sıkça rastlanmıştır.

Koyu renkli mineraller içinde en yaygın olanı da hornblendlerdir. Genellikle sarımsı kahve ve yeşilimsi kahve renkte olan bu mineralere her örnekte rastlanmıştır. Kristal kenarlarında yer yer yeşilimsi-mavimsi bir zonun gözlenmesi sodik tür'lere doğru geçişin söz ko-

nusu olabileceğini göstermektedir. Nitekim, jeokimya bölümünde de vurgulanacağı gibi, alkali karakterli kayaçlarda bu durum daha belirgin olarak gözlenmektedir. Biyotitler açık sarımsı kahveden koyu kırmızımsı kahveye kadar değişen renklere sahip olup dilinim izlerinden itibaren az miktarda kloritleşmişlerdir. Bir çok örnekte yaygın olmakla beraber 3 ve 19 nolu örneklerde çok az, 21 ve 23 nolu örneklerde ise hiç rastlanmamıştır. Diyopsitik-ojıt karakterindeki klinopiroksenler, aşırı derecede amfibollere dönüşmeleri nedeniyle hemen hemen daima bu mineraler içinde artıklar şeklinde gözlenmektedir. Bolluk açısından biyotitler ile zithik oluşturur. 21 ve 23 nolu örneklerde bol, 3 ve 19 nolu örneklerde az izlenirken diğer örneklerin bir çoğunda klinopiroksen gözlenmemiştir.

Titanitler çoğunlukla özçekilli kristaller halinde olup aksessorik bileşenler içinde en bol bulunanıdır. Alnanitler, kırmızımsı kahve renkte ve zonlu yapı gösterirler. Apatit ile zirkon ise az miktarda mevcuttur.

İncelenen plutonik kayaçlar içinde, koyu renkli, ince ve orta taneli kayaç kapanımları gözlenmiştir. Çapları yaklaşık 7-8 cm'ye kadar erişebilen bu kapanımlar, mikroskopta taneli ve porfirik yapı gösterirler. Mineralojik bileşimlerini, plajiyoklas, ± kuvars, hornblend, diyopsitik-ojıt, biyotit, titanit, apatit



**Şekil 2.** Örneklerin "magmatik kayaçları isimlendirme" diyagramındaki (Debon ve Le Fort, 1982) dağılımları. gr: granit, ad: adamellit, gd: granodiorit, to: tonalit, sq: kuvars sienit, mzg: kuvars monzonit, mzdq: kuvars monzodiyorit, dq: kuvars diyorit (kuvars gabro), s: sienit, mz: monzonit, mzgo: monzogabbro (monzodiyorit), go: gabro (diyorit), CALK: Kalkalkalı, SALKD: koyu renkli subalkalı, ALKOS: aşırı doygún alkali.

*Figure 2.* Distributions of samples in the nomenclature diagram for igneous rocks (Debon and Le Fort, 1982). gr: granite, ad: adamellite, gd: granodiorite, to: tonalite, sq: quartz syenite, mzq:quartz monzonite, mzdq: quartz monzodiorite, dq:quartz diorite (quartz gabbro), s: syenite, mz: monzonite, mzgo: monzogabbro (monzodiorite), go: gabbro (diorite). CALK: calc-alkaline, SALKD: dark-coloured subalkaline, ALKOS: alkaline oversaturated.

ve opak mineraller oluşturmaktadır. Daha çok kuvars diyorit karakterindeki kapanımlar ana kayaca göre plajiyoklas ve hornblend açısından daha zengindirler.

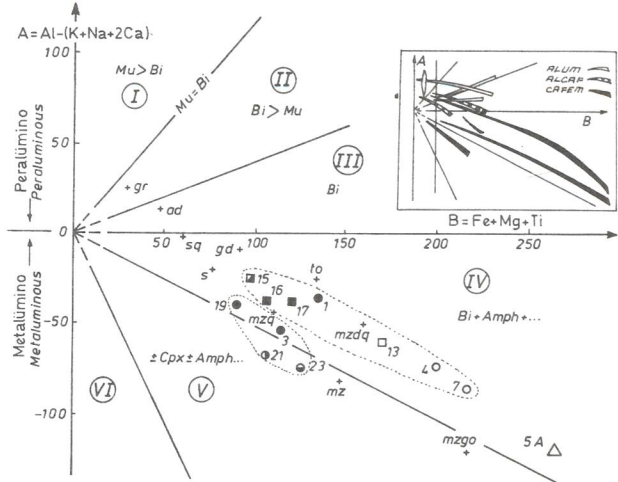
### KİMYASAL-MİNERALOJİK ÖZELLİKLER

İncelenen kayaçların kimyasal-mineralojik özelliklerinin belirlenmesinde, Debon ve Le Fort (1982)'nin ileri sürüdüğü kriterler esas alınmıştır.

Kimyasal-mineralojik verilere göre (Çizelge 1, Şekil 2, 3 ve 4), inceleme alanında birbirinden farklı iki petrografik kayaç grubunun varlığı belirlenmiştir. Bunlar, subalkalı (veya monzonitik) ve alkali gruplardır.

Subalkalı grup, özellikle Cefalıdağ Plütonu ve Baranadağ Plütonunun doğu kenarlarında yer almaktadır (Şekil 1). Bileşimleri kuvars monzodiyorit ile kuvars monzonit arasında değişmektedir (Şekil 2). Topluluğa ait bir örnek (15), kuvars monzonit bölgesine çok yakın konumlu adamellit'tir. Bu kayaçların çok iyi bir monzonitik (subalkalı) topluluk oluşturmaları nedeniyle, söz konusu örnek, monzonitik grup içinde yorumlanmalıdır. İndeks mineraller diyagramında (Şekil 3), metaaltımine bölgenin IV nolu kesiminde (biyotit+amph+...) dağılım göstermeye olup kafemik kayaç topluluklarına uygun bellirgin şekilde negatif eğime sahiptirler. Bu durum, kahverenkli biyotit, yeşilimsi kahve amfibol ve çok az klinopiroksen varlığı saptanan mikroskopik gözlemler ile tam bir uyum içindedir.

Bu kayaçların Q B F diyagramındaki (Şekil 4) ana gidiş doğrultuları, kalkalkalı (CALK) gidiş ile koyu renkli subalkalı (SALKD) gidiş arasında görülmektedir. Bunun



**Şekil 3.** Örneklerin "karekteristik mineraller" diyagramındaki (Debon ve Le Fort, 1982) dağılımları. Mu=muskovit, Bi=biyotit, Amph=amfibol, cpx=klinopiroksen. Küçük yan çizelge alümino (ALUM), alümino-kafezik (ALCAF) ve kafezik (CAFEM) topluluklarının gidişini göstermektedir. Kayaç tipleri ve semboller Şekil 2'de olduğu gibi.

*Figure 3.* Distributions of samples in the characteristic minerals diagram (Debon and Le Fort, 1982). Mu=muscovite, Bi=biotite, Amph=amphibole, cpx=clinopyroxene. The little diagram shows trends of aluminous (ALUM), aluminocafemic (ALCAF) and cafemic (CAFEM) associations. Rock types and symbols as in Figure 2.

nedeni, diğer bir deyişle monzonitik bir kayaç topluluğuna sahip oldukları için karakteristik olarak subalkalı bir gidişe sahip olmaları gereklidir. SALKD gidişten CALK gidişine doğru paralel bir kayma göstermelerinin nedeni, ilgili kayaç örneklerinin Q (kuvars), B (koyu renkli mineraller) ve F (başlıca feldispatlar) içeriklerinin, Debon ve Le Fort (1982) tarafından tanımlanan tip kuvars monzodiyorit ve kuvars monzonit'lerle karşılaştırıldığında açıkça görülmektedir. İnceleme alanındaki kuvars monzonitlerin çoğunun (1, 16 ve 17) feldispat içeriklerindeki önemli düşüslər daha çok kuvars içeriğindeki artışlarla dengelendiğinden, ilgili kayaçlar SALKD'dan CALK'a doğru paralel bir şekilde kaymaktadır. Aynı şekilde kuvars monzodiyoritlerin çoğullığında (4 ve 7) görülen ve önemli miktarlara ulaşabilen koyu renkli mineral artışı, kuvars ve feldispat içeriklerindeki düşüsləre neden olduğundan, bu kayaçlarda SALKD'dan CALK'a doğru paralel kaymaya yol açmaktadır.

Subalkalı grubun kuvars içerikleri % 11.40-22.40 (ortalama % 16.50), koyu renkli mineral içerikleri % 17.90-39.50 (ortalama % 27.10) ve feldispat içerikleride % 49.10-63.70 (ortalama % 59.70) arasında değişmektedir. Peralümina ve metaaltımino karakterli toplulukları ayırmada kullanılan A=Al- (K+Na+2Ca) değerde negatif karakterde olup -24.80 ile -89.80 (gr-atom x 10<sup>3</sup>) arasındadır (Çizelge 1). Diğer taraftan iz element içerikleri ortalama değer olarak (Rb= 132 ppm, Sr= 537 ppm, Ba= 931 ppm, Zr= 182 ppm, Cr= 168 ppm, V= 90 ppm ve K/Rb= 246), kimyasal bileşimlerine uygun olarak yüksektir.

PETROGRAFİK GRUP PETROGRAPHIC G.	SUBALKALİ (veya MONZONİTİK) / SUBALKALINE (or MONZONITIC)								ALKALİ / ALKALINE				KALINTI/ RESTITE
PLÜTON / PLUTON	Ba	Ba	Ce	Ba	Ce	Ce	Ce	Ba	Ba	Ba	Ba	Ba	Ba
KAYAC TİPİ / ROCK TYPE	mzdq	mzdq	mzdq	mzq	mzq	mzq	ad	mzq	mzq	mz	sq		mzgo
SEMBOL / SYMBOL	○	○	□	●	■	■	■	●	●	●	●	●	△
ÖRNEK NO / SAMPLE NUMBER	7	4	13	1	17	16	15	3	19	23	21	5 A	
Si O <sub>2</sub>	55.25	57.02	59.80	62.54	63.55	63.93	66.04	60.58	64.29	58.98	60.87	49.62	
Ti O <sub>2</sub>	0.85	0.77	0.64	0.52	0.53	0.50	0.42	0.54	0.42	0.56	0.49	1.02	
Al <sub>2</sub> O <sub>3</sub>	17.48	16.91	16.66	15.92	16.54	16.61	15.48	17.13	17.11	17.59	17.19	16.66	
Fe O	8.07	7.37	6.58	5.21	5.17	4.40	4.21	4.64	3.84	5.19	4.45	9.28	
Mn O	0.15	0.14	0.13	0.11	0.10	0.10	0.09	0.10	0.09	0.10	0.10	0.19	
Mg O	3.86	3.53	2.77	2.28	1.73	1.67	1.43	1.62	1.29	1.91	1.51	4.96	
Ca O	7.93	6.84	5.73	4.63	4.61	4.19	3.59	4.82	3.86	5.10	4.41	9.49	
Na <sub>2</sub> O	2.96	2.87	3.16	2.96	3.46	3.54	3.05	3.47	3.81	3.78	3.79	3.28	
K <sub>2</sub> O	2.53	3.38	3.82	4.27	4.00	4.61	4.78	5.02	5.42	5.44	5.93	2.07	
P <sub>2</sub> O <sub>5</sub>	0.24	0.22	0.21	0.16	0.21	0.19	0.14	0.19	0.14	0.24	0.21	0.29	
Altışte kayıp / L.I.	0.66	0.63	0.66	0.88	0.53	0.57	0.67	0.54	0.46	0.54	0.47	1.17	
Toplam-total	99.98	99.68	100.16	99.48	100.43	100.31	99.90	98.65	100.73	99.43	99.42	100.03	
<b>İz Elementler (ppm) / Trace Elements (ppm)</b>													
Rb	86	126	117	143	132	154	167	153	186	193	231	126	
Sr	696	567	541	438	533	572	412	653	580	790	791	647	
Ba	960	995	1079	844	889	826	926	1062	917	839	834	769	
Zr	170	161	185	169	215	204	170	220	216	238	249	134	
Ni	16	18	14	20	11	22	14	14	20	23	16	20	
Cr	154	162	167	167	156	169	199	140	140	138	115	114	
V	136	122	102	68	69	75	59	78	60	97	92	142	
K/Rb	244	223	271	248	252	249	238	272	242	234	213	136	
<b>Parametreler / Parameters</b>													
Q	63.24	71.08	80.67	106.54	101.02	92.72	124.19	61.26	72.46	29.44	37.48	12.84	
P	-183.30	-143.27	-122.78	-87.77	-108.36	-90.65	-60.85	-92.45	-75.96	-97.82	-75.27	-231.16	
A	-89.80	-77.46	-61.09	-39.74	-36.89	-36.89	-24.80	-55.76	-40.30	-75.35	-69.27	-122.86	
B	219.27	200.90	168.39	136.58	121.17	108.78	99.58	113.23	90.18	127.57	106.31	265.58	
F	272.49	283.02	305.94	311.88	332.81	353.50	331.23	380.51	392.36	398.00	411.21	278.00	

Çizelge 1. Cefalikdağ (Ce) ve Baranadağ (Ba) plütonlarının kimyasal bileşimleri. Kayaç tipleri ve simgleer Şekil 3 'e göredir.

Table 1. Chemical compositions of Cefalikdağ (Ce) and Baranadağ (Ba) plutons. The rock types and symbols refer to the Figures 3

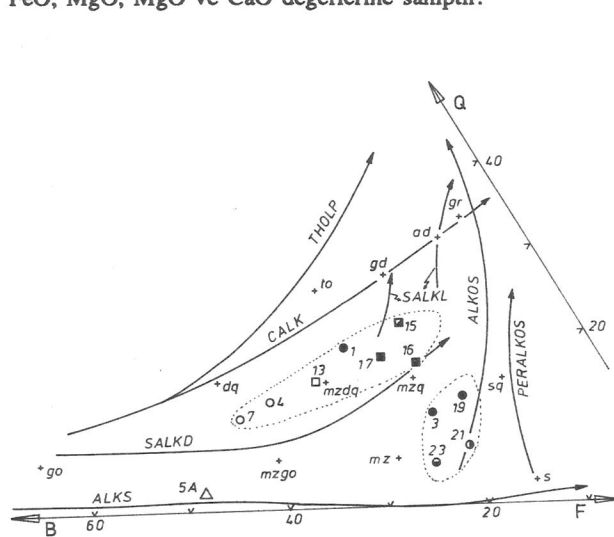
Alkali grup Baranadağ Plütonunda yaygın şekilde gözlenmekte ve özellikle alkalilik plütonun kuzeyine doğru artış göstermektedir. Örnekler, monzonit, kuvars monzonit ve kuvars siyenit alanında yer almaktadır (Şekil 2). Ancak, 23 nolu örneğin siyenit bölgesine yakın konumlu monzonit, 19 nolu örneğinde kuvars siyenit bölgesine yakın konumlu monzonit, 19 nolu örneğinde kuvars siyenit bölgesine yakın konumlu kuvars monzonit olması, alkali grubun daha çok siyenitik karakterde olduğunu göstermektedir. İlgili kayaçlar, -40.30 ile -75.35 (gr-atom x 10<sup>3</sup>) arasında değişen Al= Al-(K+Na+2Ca) değeriyle metaalümino özelliğinde olup IV. (Bi + Amph + ...) ve V. (cpx + Amph + ...) bölgede dağılım gösterirler. Daha önce belirtildiği gibi yapılan mikroskopik çalışmalarla, 21 ve 23 nolu örneklerin yalnız klinopiroksen + amfibol, 3 ve 19 nolu örneklerin ise amfibol + biyotit ± klinopiroksen içerdikleri belirlenmiştir. Bu da, mikroskopik gözlemler ile kimyasal-mineralojik özelliklerin çakıştığını göstermektedir. Subalkali kayaçların olduğu gibi, yine kafemik kayaç toplu-

luklarına özgü belirgin şekilde negatif eğime sahiptirler (Şekil 3).

Koyu renkli subalkali (SALKD) çizgisinin altında ve alkalice aşırı doygun (ALKOS) çizgisine yakın (Şekil 4) dağılım gösteren ilgili kayaçlar, subalkali gruba göre daha az koyu renkli mineral (B= % 16.20 -23.00, ortalama % 19.70) ve kuvars (Q= % 5.30-13.10, ortalama % 8.80), daha çok feldispat (F= % 69.60-74.00, ortalama % 71.50) içermektedirler. Alkali değerleri yüksektir (ortalama Na<sub>2</sub>O = % 3.71, K<sub>2</sub>O = % 5.45). Ortalama iz element değerleri açısından da subalkali gruba göre yüksek RB (191 ppm), Sr (704 ppm) ve Zr (231 ppm), düşük Ba (913 ppm), Cr (133 ppm), V (82 ppm) ve K/Rb (240) içerirler.

SALKD kayaçları içindeki koyu renkli kayaç kapanımlarından alınan örneklerden birinin (5 A) kimyasal analizi yapılmış (Çizelge 1) ve kimyasal-mineralojik özellikleri belirlenmiştir (Şekil 2,3 ve 4). Monzogabro veya monzodiyorit bileşimindeki söz konusu kapanım kayacı metaalümino karakterinde ve IV. bölgede yeral-

maktadır. Yine, kafemik kayaç topluluklarına benzer konumda bulunmaktadır. Koyu renkli subalkali ile alkalicde doygun kayaçlar arasında yerlerler. İnceleme alanında belirlenen her iki kayaç grubuna (subalkali ve alkali) göre, düşük  $\text{SiO}_2$ , alkali ve iz element değerleri, yüksek  $\text{Al}_2\text{O}_3$ ,  $\text{FeO}$ ,  $\text{MgO}$ ,  $\text{MgO}$  ve  $\text{CaO}$  değerlerine sahiptir.



**Şekil 4.** Örneklerin Q (kuvars) - B (koyu renkli mineraler) - F (feldispat+muskovit) Üçgen diyagramındaki (Debon ve Le Fort, 1982) dağılımları. Diyagramda kafemik ve alümino-kafemik topluluklar alt bölmelere ayrılmaktadır. THOLP: toleyitik plütonik, CALK: kalkalkalı, SALKD: koyu renkli subalkali (veya monzonitik), SALKL: açık renkli subalkali (veya monzonitik), ALKS: doygun alkali, ALKOS: aşırı doygun alkali, PERALKOS: aşırı doygun peralkali. Kayaç tipleri ve simgeler Şekil 2'de olduğu gibi.

**Figure 4.** Distributions of samples in the triangular diagram q (quartz) - B (dark minerals) - F (feldspar+muscovite) (Debon and Le Fort, 1982). Diagram enables to distinguish different subtypes of cafemic and aluminocafemic associations. THOLP: tholeiitic plutonic, CALK: calcalkaline, SALKD: dark-coloured subalkaline (or monzonitic) SALKL: light-coloured subalkaline (or monzonitic), ALKS: alkaline saturated, ALKOS: alkaline oversaturated, PERALKOS: peralkaline oversaturated. Rock types and symbols as in Figure 2

## SONUÇLAR ve TARTIŞMA:

Cefalıdağ ve Baranadağ Plütonlarına ait örneklerin petrografik ve kimyasal-mineralojik incelenmesi aşağıda belirtilen sonuçları doğurmıştır.

Her iki plütonun kayaçları, Kafemik topluluğa ait olup birbirinden farklı kimyasal-mineralojik özelliklere sahip iki petrografik grup tanımlanmıştır. Bunlar, koyu renkli subalkali (veya monzonitik) ve alkali kayaç grubudur.

Koyu renkli subalkali grup, metaalümina karakterde olup kuvars monzodiyorit ve kuvars monzonit bileşimindeki kayaçlardan oluşmaktadır. Koyu renkli mineralerini amfibol ve biyotit ile çok az mikardaki klinopiroksen oluşturmaktadır. Bunlar, Cefalıdağ Plütonu ile Baranadağ Plütonun doğu kenar zonlarında yayılmışlardır.

Aşırı doygun alkali grup, yine metaalümina

özelliğinde ve siyenit bileşimine çok yakın monzonit, kuvars monzonit ve kuvars siyenit karakterindedir. Amfibol, klinopiroksen ve ± biyotit koyu renkli mineralerleri oluşturur. Baranadağ Plütonun iç ve kuzey kesimlerinde yayılmış göstergelerdir.

Alkali grup, koyu renkli subalkali gruba göre daha yüksek alkali ( $\text{Na}_2\text{O}$ ,  $\text{K}_2\text{O}$ ),  $\text{Al}_2\text{O}_3$ , Rb, Sr ve Zr daha düşük  $\text{FeO}$ ,  $\text{MgO}$ ,  $\text{CaO}$ , Ba ve Cr değerlerine sahiptirler.

Debon ve Le Fort (1982) kafemik kayaç topluluklarının, tamamen manto kökenli bir kaynak malzemeden türeyebildikleri gibi, manto ve kitasal kabuk malzemeleinin karışımından oluşan hibrid malzemeden itibaren de türeyebileceklerini ileri sürmektedirler. Cefalıdağ ve Baranadağ Plütonlarının kafemik topluluklara özgü petrografik ve kimyasal-mineralojik özellikler göstermesi, manto kökenli veya hibrid malzemeden itibaren türediklerine işaret etmektedir. Ancak, iyonik yarıçapları büyük olan litofil elementlerden Rb, Sr, Ba ve Zr değerlerinin yüksek,  $\text{K}/\text{Rb}$  oranında düşük olması, hibridik malzemeden itibaren oluşumu ön plana çıkarmaktadır. Bu hibridik malzemede, kitasal kabuğun etkisi, mantoya göre daha fazladır.

Aynı topluluğa (kafemik) ait olan koyu renkli subalkali grup ile aşırı doygun alkali grubun, bir tek magmanın fraksiyonel kristalleşmesi ile oluştularını ileri sürmek de mümkün değildir. Çünkü, bazı terslikler mevcuttur. Örneğin, Sr değerinin alkali grupta yüksek (ortalama 704 ppm.) olması, feldispat fraksiyonlanması zıtlık oluşturmaktadır. Aynı şekilde, alkali gruptaki  $\text{K}/\text{Rb}$  oranında belirgin bir azalmanın olmaması, yine fraksiyonlanma ile açıklanamaz.

Chappel ve White (1974) ile White ve Chappel (1977) granitoyidleri I-tipi ve S-tipi olmak üzere iki gruba ayırmışlardır. I-tipi granitoyidler magmatik kökenli malzemeden, S-tipi granitoyidler ise sedimentler kökenli malzemeden türemektedirler. İncelenen koyu renkli subalkali grup, petrografik ve kimyasal-mineralojik özellikleri açısından I-tipi granitoyidlere karşılık gelmektedir. Bu grup içinde gözlenen koyu renkli kayaç kapanımlarının da, White ve Chappel (1977)'ye göre, kısmi erime artığı (restit) olarak değerlendirilmesi gerekmektedir. Dolayısıyla, koyu renkli subalkali grubun türediği magmatik kaynak malzemenin gabro veya diyorit (Çizelge 1, Şekil 2,3,4) karakterinde olabileceği ifade edilebilir.

Alkali grubun, I-tipi granitoyid özelliği gösteren subalkali gruba göre (ortalama olarak) daha yüksek alkali ( $\text{Na}_2\text{O} + \text{K}_2\text{O}$ ), Sr ve Zr, düşük  $\text{MgO}$ , Ca, Cr ve V içermesi, mineralojik-petrografik özellikleri açısından I-tipi granitoyidlere benzemekle birlikte, ayrıca özellikle amfibol mineralerinin etrafında yer yer mavimsi yeşilimsi bir zonun gözlenmeside (sodik karakteri vurgulayıcı olarak), Collins ve diğerleri (1982) tarafından tanımlanan A-tipi granitoyidlere benzerlik gösterdiğine işaret etmektedir. Collins ve diğerleri (1982) A-tipi granitoyidlerin, daha önce I-tipi granitoyidlerden sonra yerleşiklerini belirtmektedirler. Bu durumda inceleme alanında yer alan, SALKD bileşimindeki kayaçları türeten magmanın "felsik I-tipi" veya "minimum melt -I tipi" (White ve Chappel,

1977; Collins ve diğerleri, 1982) olması gerekmektedir. Subalkali grubunun  $\text{SiO}_2$  içeriği % 55.25-66.04 arasında değişmekte olup intermediyer karakterindedirler.  $\text{SiO}_2$  ile diğer oksitlerin değişimi düzenli olmakla beraber aralıkları geniş, başka bir ifade ile değişim eğimleri fazla değildir. Ayrıca Mg, Cr ve Ni değerlerinin yüksek (sıfıra yakın değil) olması nedeniyle incelenen SALKD kayaçları "felsik-I tipi" olma özelliğinden uzak görülmektedir. Ancak, diğer taraftan bazı örneklerin (16 ve 17)  $\text{Na}_2\text{O}$  içeriklerinin % 3.2'den yüksek olması, içlerinde mafik kayaç kapanımlarının bulunması, "felsik-I tipi" veya "minumum melt -I tipi" özelliğinde olabileceklerine işaret etmektedir. Dolayısıyla intermediyer özellik gösteren inceleme alanındaki SALKD gidişli kayaçların, "non minumum melt -I tipi" magma oluşumlarında kaynak malzemenin tamamen erimesi gerektiği de (White ve Chappel, 1977) düşünülürse, "minumum melt -I tipi" magmanın oluşumunu sağlayan kısmi erime artıklarının yeniden bütünlükle erimesi sonucu gelişen eriyikten, ALKOS gidişli siyenitik bileşimlerdeki kayaçlar türemiş olmalıdır. Başka bir deyişle subalkali ve alkali grup kayaçlarının aynı kaynak malzemenin iki farklı evrede kısmi erimeye uğrayarak oluşturduğu iki farklı magmatik eriyikten itibaren türedikleri söylenebilir.

#### KATKI BELİRTME

Çalışmanın yazımı sırasında eleştiri ve katkıları için Durmuş Boztug'a (H.Ü.), kimyasal analizlerin yapılmasını sağlayan Prof.Dr.Jörg Keller'e (Freiburg Üniversitesi F.Almanya) en içten teşekkürlerimi sunarım.

#### DEĞİNİLEN BELGELER

- ATAMAN, G., 1972, Ankara'nın güneydoğusundaki granit-granodioritik kütelerden Cefalik Dağın radyometrik yaşı hakkında ön çalışma: Hacettepe Fen ve Müh.Bil. Derg., 2/1, 44-49.  
 AYAN, M., 1963, Contribution a l'étude petrographique et géologique de la région située au Nord-Est de Kaman: MTA Yayın, 115, 332 s., Ankara.  
 BAYHAN, H., 1984, Kesikköprü Skarn Kuşağıının (Bala-Ankara) mineralojisi ve petrojenezi: Yerbilimleri, 11, 45-57.  
 CHAPPELL, B.W. ve WHITE, A.J.R., 1974, Two contrasting granite types: Pacific Geol.. 8. 173-174.  
 COLLINS, W.J., BEARNS, S.D., WHITE, A.J.R ve CHAPPELL,

B.W., 1982, Nature and origin of A type granites with particular reference to Southeastern Australia: Contrib. Mineral. Petrol., 80, 189-200.

DEBON, F. ve Le FORT, P., 1982, A chemical-mineralogical classification of common plutoic rocks and associations: Transaction of the Royal Soc. of Edinburg Earth Sci., 73, 135-149.

ERKAN, Y., 1975, Orta Anadolu Masifinin güneybatısında (Kirşehir bölgesinde) etkili reyonal metamorfizmanın petrolojik incelenmesi: H.Ü. Yerbilimleri Enst., Doçentlik Tezi, Ankara, 147 s., Yayınlanmamış.

ERKAN, Y., 1976 a, Kirşehir çevresindeki reyonal metamorfik bölgede saptanan izogradlar ve bunların petrolojik yorumlanmaları: Yerbilimleri, 2/1, 107-111.

ERKAN, Y., 1977, Orta Anadolu Masifinin güneybatısında Kirşehir bölgesinde etkili reyonal metamorfizma ile amphibol mineralerinin bileşimi arasındaki ilişkiler: Yerbilimleri, 3/1, 41-46.

ERKAN, Y. ve ATAMAN, G., 1981, Orta Anadolu Masifi (Kirşehir Yöresi) metamorfizma yaşı üzerine K-Ar yöntemi ile bir inceleme: Yerbilimleri, 8, 27-30.

GÖRÜR, N., 1981, Tuzgülü-Haymana havzasının stratigrafik analizi: Türkiye Jeol.Kur. 35. Bil. ve Teknik Kurultayı, İç Anadolu'nun Jeolojisi Simpozyumu, 60-65.

OKTAY, F.Y., 1981, Savcılıbüyükoba (Kaman) çevresinde Orta Anadolu Masifi tortul örtüsünün jeolojisi ve sedimentolojisi: ITÜ Maden Fakültesi, Doçentlik Tezi, İstanbul, 175 s., Yayınlanmamış.

SEYMEN, İ., 1981 a, Kaman (Kirşehir) dolayında Kirşehir Masifinin stratigrafisi ve metamorfizması: Türkiye Jeol.Kur.Bült., 24, 101-108.

SEYMEN, İ., 1981 b, Kaman (Kirşehir) dolayında Kirşehir Masifinin metamorfizması: Türkiye Jeol.Kur. 35. Bil. ve Teknik Kurultayı, İç Anadolu'nun Jeolojisi Simpozyumu, 12-15.

SEYMEN, İ., 1983, Tamadağ (Kaman-Kirşehir) çevresinde Kaman grubunun ve onunla sınırlaşmış olukların karşılaştırılmalı tektonik özellikleri: Türkiye Jeol.Kur.Bült., 26, 89-98.

SEYMEN, İ., 1984, Kirşehir Masifi Metamorfitlerinin jeoloji evrimi: Türkiye Jeol.Kur., Keten Simpozyumu, 133-148.

TOLLUOĞLU, A.Ü., 1986, Orta Anadolu Masifinin güneybatısında (Kirşehir yöresinde) petrografik ve petrotектonik incelemeler: H.Ü. Fen Bilimleri Enst., Doktora Tezi, Ankara, 237 s., 8 Ek, Yayınlanmamış.

WHITE, A.J.R. ve CHAPPELL, B.W., 1977, Ultrametamorphism and granitoid genesis: Tectonophysics, 43, 7-12.